

J. OBRAZOVÉ PŘÍLOHY

☐ FOTO 1

Celkový pohled na most po směru orientace záznamu. Chodníky na mostě ani v jeho předpolích nejsou, most ale v intravilánu.



☐ FOTO 2

Celkový pohled na most proti směru orientace záznamu. Na mostě není osazeno jeho označení evidenčním číslem.



☐ FOTO 3

Celkový pohled na most zprava (proti směru toku).



FOTO 4

Celkový pohled na most zleva (po směru toku).
Přístup z komunikace, terénu, svahu u L křídla OP2 a přilehlého břehu vodoteče do koryta vodoteče a poté korytem vodoteče pod most bez větších problémů.

**FOTO 5**

Celkový pohled na opěru 1.
Sondy nebyly provedeny, základy mostu jsou nepřístupné, dosud bez viditelných geometrických změn, bez obnažení či podemletí základů, zřejmě bez vážnějších závad.

**FOTO 6**

Pravé křídlo opěry 1.



☐ **FOTO 7**

Levé křídlo opěry 1.



☐ **FOTO 8**

Celkový pohled na opěru 2.
SS bez zjevných globálních
geometrických změn.



☐ **FOTO 9**

Pravé křídlo opěry 2.



FOTO 10

Levé křídlo opěry 2.

**FOTO 11**

Detail OP1 vpravo.
SS s lokálně zvodnělým lícem
se sinicemi a vápennými
výluhy.
Kamenný dřík obou OP lokálně
rozrušený ve spárování s
odpadem, ojediněle ve
spárách uchycena vegetace.

**FOTO 12**

Detail OP1 vpravo.
SS s lokálně zvodnělým lícem
se sinicemi a vápennými
výluhy.
Kamenný dřík obou OP lokálně
rozrušený ve spárování s
odpadem, ojediněle ve
spárách uchycena vegetace.

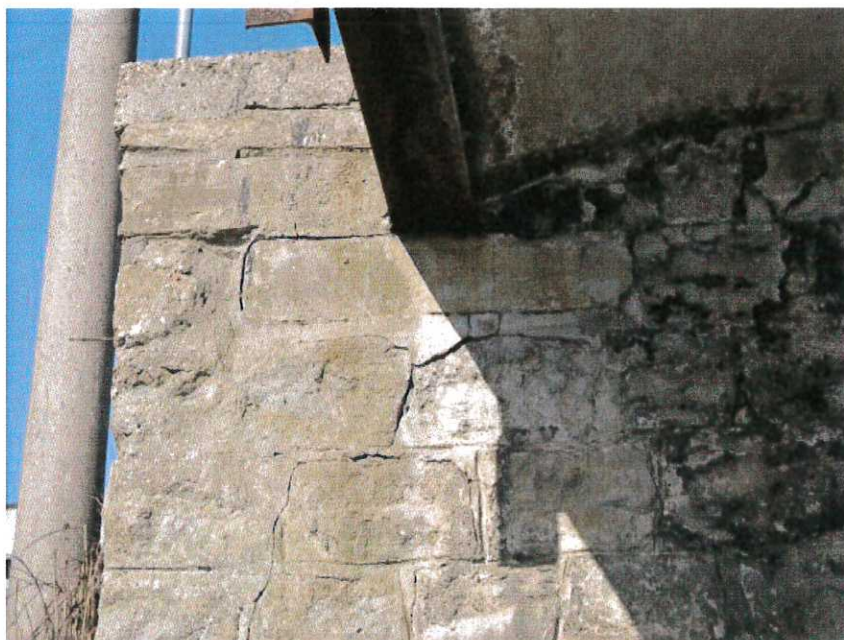


FOTO 13

Detail OP1 uprostřed.
SS s lokálně zvodnělým lícem
se sinicemi a vápennými
výluhy.
Kamenný dřík obou OP lokálně
rozrušený ve spárování s
odpadem, ojediněle ve
spárách uchycena vegetace.

**FOTO 14**

Detail OP1 vlevo.
SS s lokálně zvodnělým lícem
se sinicemi a vápennými
výluhy.
Kamenný dřík obou OP lokálně
rozrušený ve spárování s
odpadem, ojediněle ve
spárách uchycena vegetace.

**FOTO 15**

Detail OP1 vlevo.
SS s lokálně zvodnělým lícem
se sinicemi a vápennými
výluhy.
Kamenný dřík obou OP lokálně
rozrušený ve spárování s
odpadem, ojediněle ve
spárách uchycena vegetace.

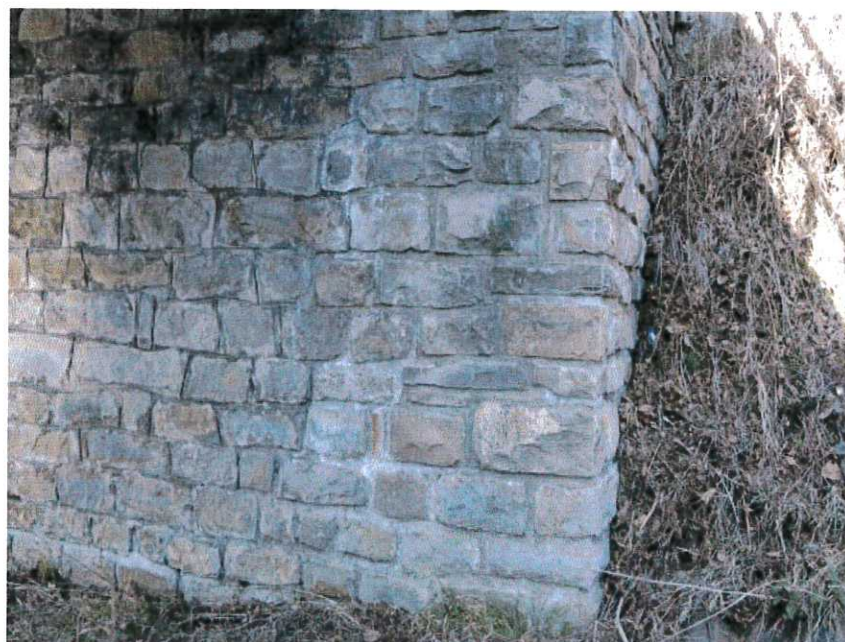


FOTO 16

Detail OP2 vpravo.
SS s lokálně zvodnělým lícem
se sinicemi a vápennými
výluhy.
Kamenný dřík obou OP lokálně
rozrušený ve spárování s
odpadem, ojediněle ve
spárách uchycena vegetace.

**FOTO 17**

Detail OP2 vlevo.
SS s lokálně zvodnělým lícem
se sinicemi a vápennými
výluhy.
Kamenný dřík obou OP lokálně
rozrušený ve spárování s
odpadem, ojediněle ve
spárách uchycena vegetace.

**FOTO 18**

Detail OP2 vlevo.
SS s lokálně zvodnělým lícem
se sinicemi a vápennými
výluhy.
Kamenný dřík obou OP lokálně
rozrušený ve spárování s
odpadem, ojediněle ve
spárách uchycena vegetace.

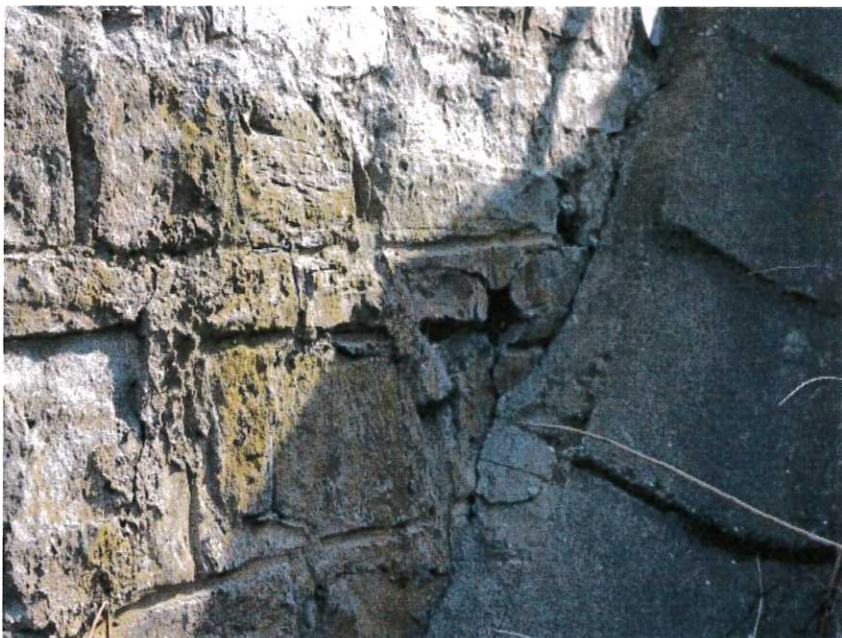


FOTO 19

Detail P křídla OP1.
SS s lokálně zvodnělým lícem
se sinicemi a vápennými
výluhy.
Kamenný líc všech křídel
lokálně rozrušený ve spárování
s odpadem, lokálně ve spárách
uchycena vegetace.

**FOTO 20**

Detail P křídla OP2.
SS s lokálně zvodnělým lícem
se sinicemi a vápennými
výluhy.
Kamenný líc všech křídel
lokálně rozrušený ve spárování
s odpadem, lokálně ve spárách
uchycena vegetace.

**FOTO 21**

Detail L křídla OP2.
SS s lokálně zvodnělým lícem
se sinicemi a vápennými
výluhy.
Kamenný líc všech křídel
lokálně rozrušený ve spárování
s odpadem, lokálně ve spárách
uchycena vegetace.



FOTO 22

Detail opevnění paty svahu u L křídla OP1.

Kamenná rovnanina opevnění pat násypových svahů u křídel OP1 je rozvolněná a ve své patě rozplavená, uchyceny nečistoty a vegetace.

**FOTO 23**

Detail vrchu svahu u L křídla OP1.

Nezpevněné vrchy svahů u OP1 a celé násypové svahy u obou křídel OP2 postupně erodují a jsou odplavovány, uchycena je nadměrná vegetace.

**FOTO 24**

Celkový pohled na podhled NK mostu od OP2 k OP1.

NK bez zjevných geometrických změn, jež by svědčily o statickém problému NK.

Izolační systém mostu lokálně porušený, v líci SS a v podhledu NK patrné zvodnění.

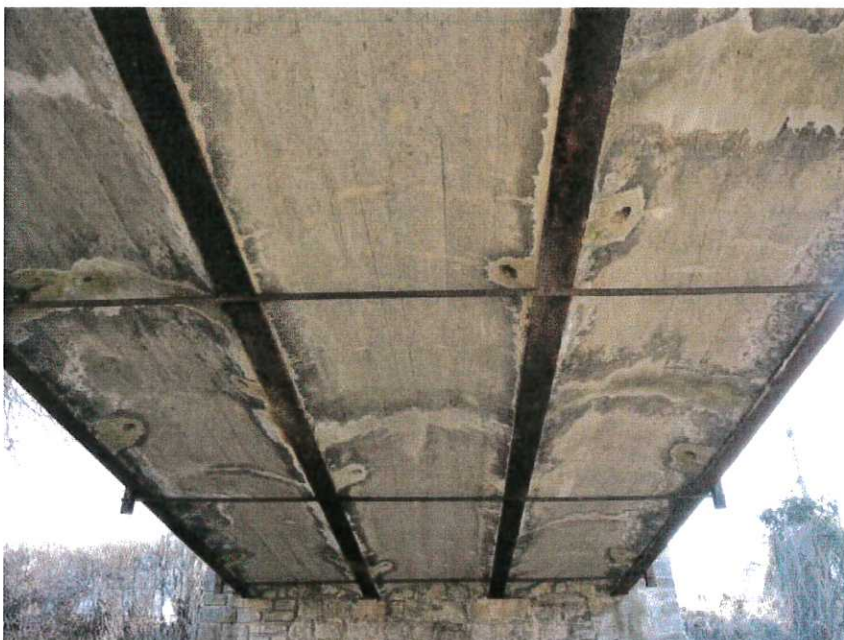


FOTO 25

Detail ocelové hlavní NK vpravo u OP1. Přístupné části a zejména dolní pásnice ocelových I nosníků jsou zvodnělé bez nátěru s celoplošnou povrchovou korozí a lokální hloubkovou korozí v asi 10% plochy.

**FOTO 26**

Detail ocelové hlavní NK vpravo u OP2. Přístupné části a zejména dolní pásnice ocelových I nosníků jsou zvodnělé bez nátěru s celoplošnou povrchovou korozí a lokální hloubkovou korozí v asi 10% plochy.

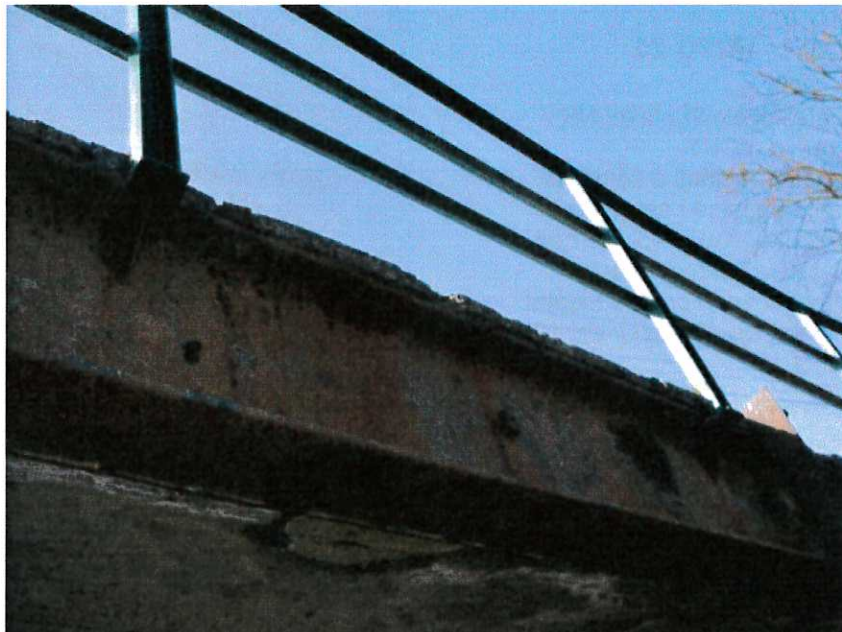
**FOTO 27**

Detail ocelové hlavní NK uprostřed. Přístupné části a zejména dolní pásnice ocelových I nosníků jsou zvodnělé bez nátěru s celoplošnou povrchovou korozí a lokální hloubkovou korozí v asi 10% plochy.



FOTO 28

Detail ocelové hlavní NK. Přístupné části a zejména dolní pásnice ocelových I nosníků jsou zvodnělé bez nátěru s celoplošnou povrchovou korozí a lokální hloubkovou korozí v asi 10% plochy.

**FOTO 29**

Detail ocelové hlavní NK. Přístupné části a zejména dolní pásnice ocelových I nosníků jsou zvodnělé bez nátěru s celoplošnou povrchovou korozí a lokální hloubkovou korozí v asi 10% plochy.

**FOTO 30**

Detail ocelové hlavní NK. Přístupné části a zejména dolní pásnice ocelových I nosníků jsou zvodnělé bez nátěru s celoplošnou povrchovou korozí a lokální hloubkovou korozí v asi 10% plochy.



FOTO 31

Detail ocelové hlavní NK. Přístupné části a zejména dolní pásnice ocelových I nosníků jsou zvodnělé bez nátěru s celoplošnou povrchovou korozí a lokální hloubkovou korozí v asi 10% plochy.

**FOTO 32**

Detail příčného sepnutí ocelové hlavní NK. Přístupné části a zejména dolní pásnice ocelových I nosníků jsou zvodnělé bez nátěru s celoplošnou povrchovou korozí a lokální hloubkovou korozí v asi 10% plochy.

**FOTO 33**

Detail pohledu betonové klenby NK mostu. Pohled betonu monolitických kleneb NK je hrubý a nerovný od bednění s lokálními drobnými štěrkovými hnízdy, lokálně pohled kleneb NK zvodnělý s vápennými výluhy a sinicemi, více v krajních polích, lokálně v blízkosti uložení kleneb na I nosnících NK hloubková degradace betonu s jeho drobným odpadem.



FOTO 34

Detail pohledu betonové klenby NK mostu.

Podhled betonu monolitických kleneb NK je hrubý a nerovný od bednění s lokálními drobnými štěrkovými hnízdy, lokálně podhled kleneb NK zvodnělý s vápennými výluhy a sinicemi, více v krajních polích, lokálně v blízkosti uložení kleneb na I nosnících NK hloubková degradace betonu s jeho drobným odpadem.

**FOTO 35**

Detail pohledu betonové klenby NK mostu.

Podhled betonu monolitických kleneb NK je hrubý a nerovný od bednění s lokálními drobnými štěrkovými hnízdy, lokálně podhled kleneb NK zvodnělý s vápennými výluhy a sinicemi, více v krajních polích, lokálně v blízkosti uložení kleneb na I nosnících NK hloubková degradace betonu s jeho drobným odpadem.

**FOTO 36**

Detail pohledu betonové klenby NK mostu.

Podhled betonu monolitických kleneb NK je hrubý a nerovný od bednění s lokálními drobnými štěrkovými hnízdy, lokálně podhled kleneb NK zvodnělý s vápennými výluhy a sinicemi, více v krajních polích, lokálně v blízkosti uložení kleneb na I nosnících NK hloubková degradace betonu s jeho drobným odpadem.



FOTO 37

Detail podhledu betonové klenby NK mostu.
Podhled betonu monolitických kleneb NK je hrubý a nerovný od bednění s lokálními drobnými štěrkovými hnízdy, lokálně podhled kleneb NK zvodnělý s vápennými výluhy a sinicemi, více v krajních polích, lokálně v blízkosti uložení kleneb na I nosnících NK hloubková degradace betonu s jeho drobným odpadem.

**FOTO 38**

Detail podhledu betonové klenby NK mostu.
Ve středním poli klenby NK v blízkosti OP2 vytvořen 1 ks podélné trhlinky délky asi 2,0 m.

**FOTO 39**

Detail uložení NK na OP1.
Ložiska na mostě nejsou, přímé uložení NK na OP bez zjevných závad.



FOTO 40

Detail uložení NK na OP2.
Ložiska na mostě nejsou,
přímé uložení NK na OP bez
zjevných závad.

**FOTO 41**

Celkový pohled na vozovku na
mostě od OP1.
Odvodňovače povrchu
vozovky na mostě nezjištěny,
odvodnění povrchu mostu
řešeno pouze příčným
sklonem a podélným spádem s
odvodem povrchové vody
mimo těleso mostu, stojatá
voda na mostě nezjištěna,
odvodnění ale probíhá přes
řimsy až na boky ocelové NK
mostu, které zavodňuje, jinak
odvodnění bez zjevných
závad.

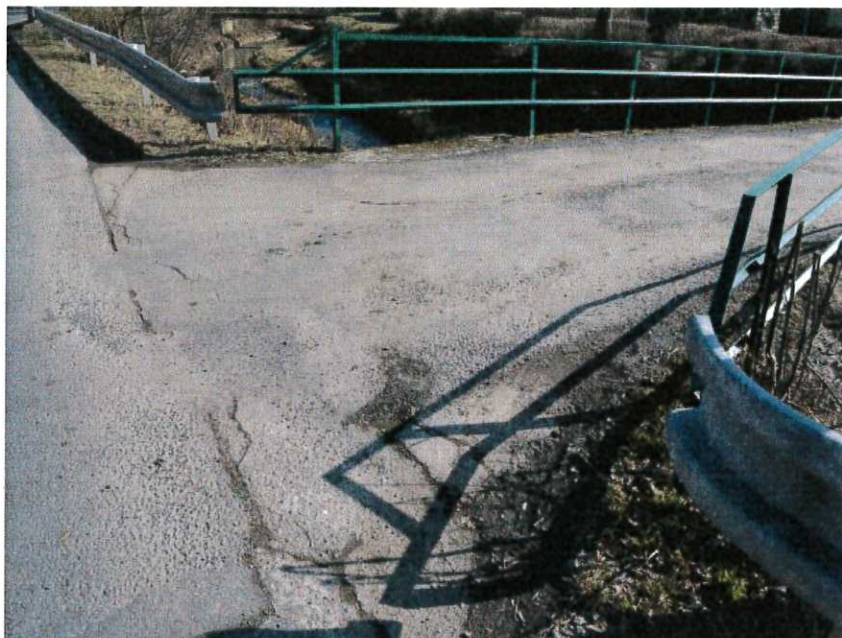
**FOTO 42**

Detail vozovky na mostě.
V krajině vozovky u říms
nečistoty a vegetace.



FOTO 43

Detail vozovky v předpolí OP1. Vozovka na mostě a v jeho předpolích je nerovná s lokálními místy bez pojiva, lokálně mapovité trhliny v jejím povrchu a nezapravená pracovní spára v předpolí OP1, vozovka má malou tloušťku s prokreslením ocelových I nosníků a příčných táhel NK, lokálně počátek tvorby výtluků.

**FOTO 44**

Detail vozovky v předpolí OP2. Vozovka na mostě a v jeho předpolích je nerovná s lokálními místy bez pojiva, lokálně mapovité trhliny v jejím povrchu a nezapravená pracovní spára v předpolí OP1, vozovka má malou tloušťku s prokreslením ocelových I nosníků a příčných táhel NK, lokálně počátek tvorby výtluků.

**FOTO 45**

Detail vozovky na mostě v místě příčného táhla. Vozovka na mostě a v jeho předpolích je nerovná s lokálními místy bez pojiva, lokálně mapovité trhliny v jejím povrchu a nezapravená pracovní spára v předpolí OP1, vozovka má malou tloušťku s prokreslením ocelových I nosníků a příčných táhel NK, lokálně počátek tvorby výtluků.

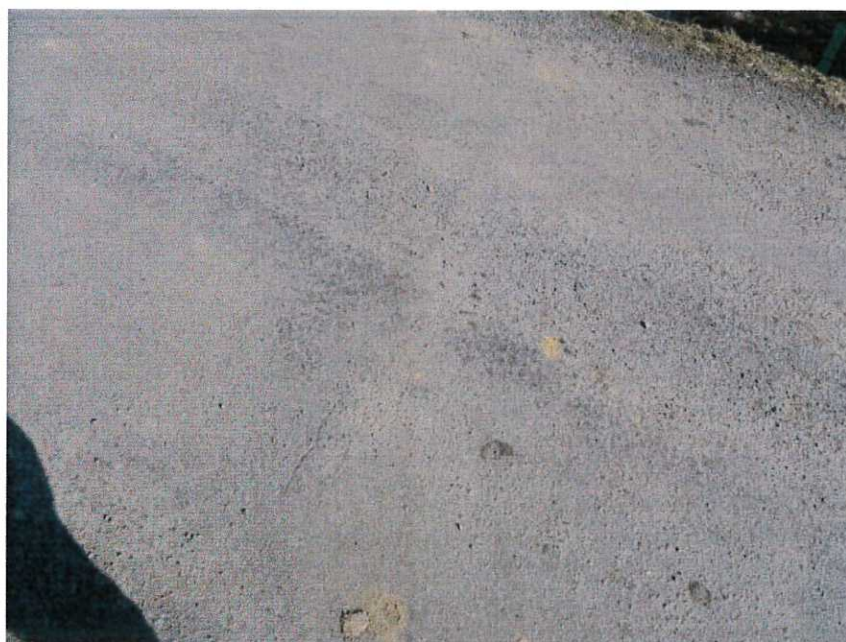


FOTO 46

Celkový pohled na pravou mostní římsu se zábradlím od OP1.

**FOTO 47**

Celkový pohled na levou mostní římsu se zábradlím od OP2.

**FOTO 48**

Detail P římsy na mostě u OP1.

Obě římsy na mostě i římsy na všech křídlech jsou nepřevýšené nad přilehlým povrchem komunikace. Obě římsy na mostě i římsy na všech křídlech s celoplošnou povrchovou degradací, lokálně degradace hloubková s lokálním odpadem betonu římsy, lokálně na povrchu římsy nečistoty, vegetace, mech a lišejník.

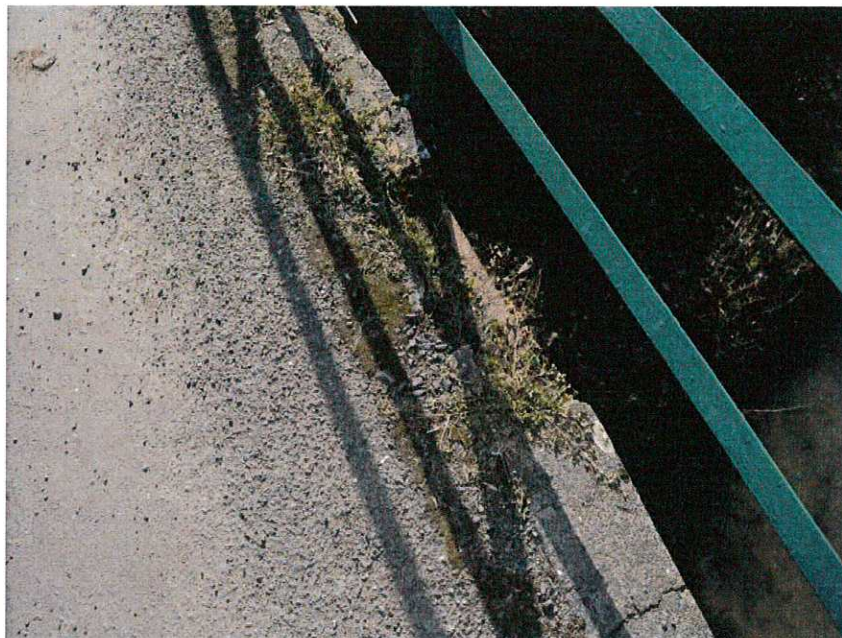


FOTO 49

Detail P římsy na mostě.

Obě římsy na mostě i římsy na všech křídlech jsou nepřevýšené nad přilehlým povrchem komunikace.

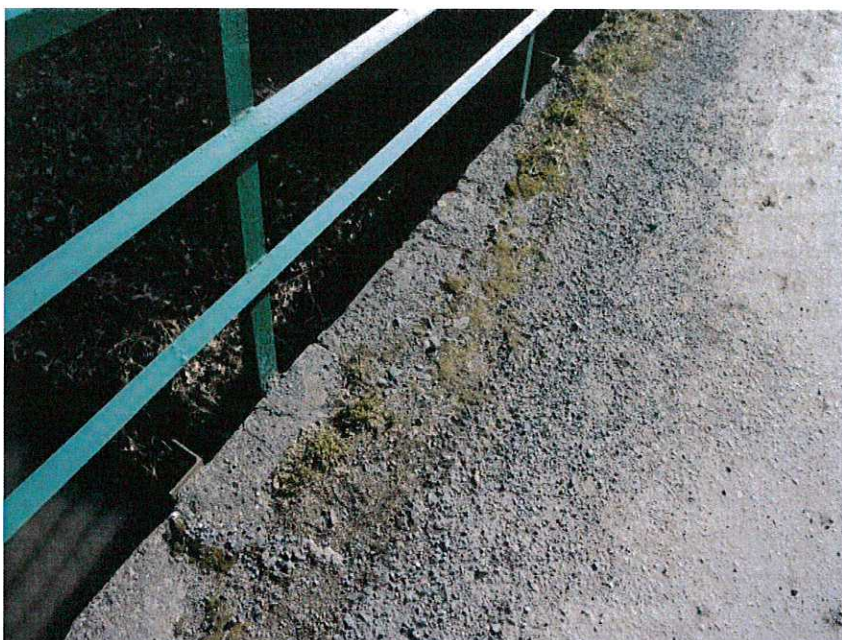
Obě římsy na mostě i římsy na všech křídlech s celoplošnou povrchovou degradací, lokálně degradace hloubková s lokálním odpadem betonu římsy, lokálně na povrchu římsy nečistoty, vegetace, mech a lišejník.

**FOTO 50**

Detail L římsy na mostě.

Obě římsy na mostě i římsy na všech křídlech jsou nepřevýšené nad přilehlým povrchem komunikace.

Obě římsy na mostě i římsy na všech křídlech s celoplošnou povrchovou degradací, lokálně degradace hloubková s lokálním odpadem betonu římsy, lokálně na povrchu římsy nečistoty, vegetace, mech a lišejník.

**FOTO 51**

Detail P římsy na křídle OP1.

Obě římsy na mostě i římsy na všech křídlech jsou nepřevýšené nad přilehlým povrchem komunikace.

Obě římsy na mostě i římsy na všech křídlech s celoplošnou povrchovou degradací, lokálně degradace hloubková s lokálním odpadem betonu římsy, lokálně na povrchu římsy nečistoty, vegetace, mech a lišejník.



FOTO 52

Detail P římsy na křídle OP1. Obě římsy na mostě i římsy na všech křídlech s celoplošnou povrchovou degradací, lokálně degradace hloubková s lokálním odpadem betonu římsy, lokálně na povrchu římsy nečistoty, vegetace, mech a lišejník.

**FOTO 53**

Detail P římsy na křídle OP2. Obě římsy na mostě i římsy na všech křídlech jsou nepřevýšené nad přilehlým povrchem komunikace. Obě římsy na mostě i římsy na všech křídlech s celoplošnou povrchovou degradací, lokálně degradace hloubková s lokálním odpadem betonu římsy, lokálně na povrchu římsy nečistoty, vegetace, mech a lišejník.

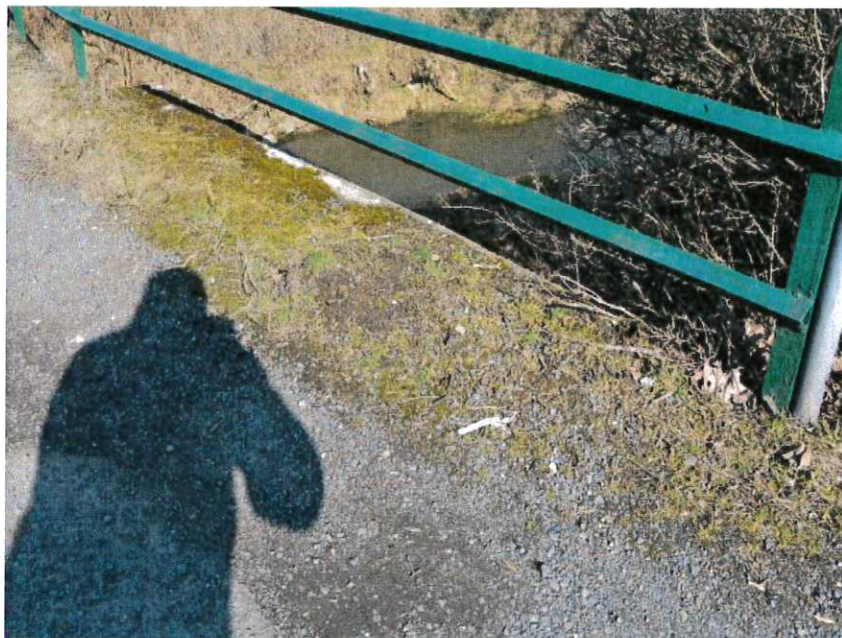
**FOTO 54**

Detail P římsy na křídle OP2. Obě římsy na mostě i římsy na všech křídlech s celoplošnou povrchovou degradací, lokálně degradace hloubková s lokálním odpadem betonu římsy, lokálně na povrchu římsy nečistoty, vegetace, mech a lišejník.

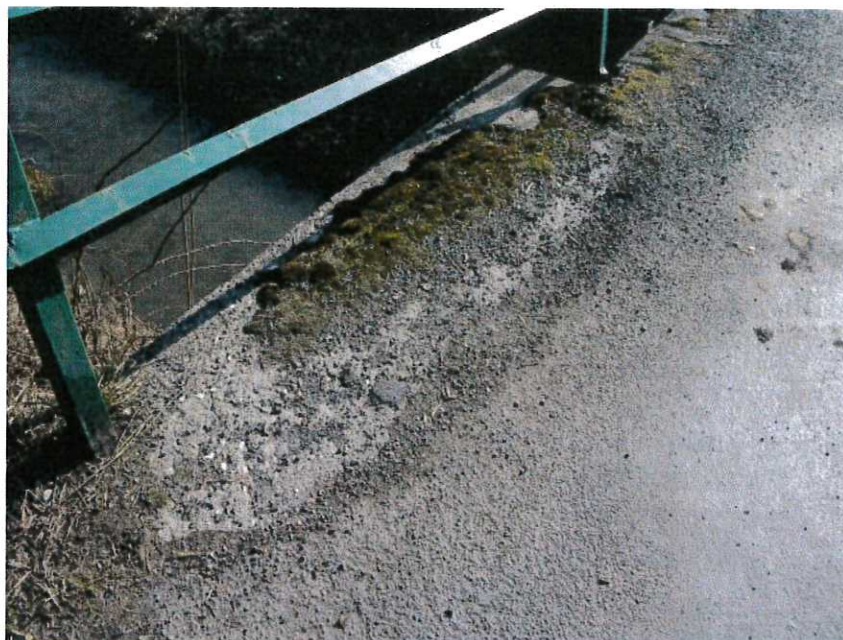


FOTO 55

Detail L římsy na křídle OP2. Obě římsy na mostě i římsy na všech křídlech jsou nepřevýšené nad přilehlým povrchem komunikace. Obě římsy na mostě i římsy na všech křídlech s celoplošnou povrchovou degradací, lokálně degradace hloubková s lokálním odpadem betonu římsy, lokálně na povrchu římsy nečistoty, vegetace, mech a lišejník.

**FOTO 56**

Detail L římsy na křídle OP1. Obě římsy na mostě i římsy na všech křídlech jsou nepřevýšené nad přilehlým povrchem komunikace. Obě římsy na mostě i římsy na všech křídlech s celoplošnou povrchovou degradací, lokálně degradace hloubková s lokálním odpadem betonu římsy, lokálně na povrchu římsy nečistoty, vegetace, mech a lišejník.

**FOTO 57**

Detail L římsy na křídle OP1. Obě římsy na mostě i římsy na všech křídlech s celoplošnou povrchovou degradací, lokálně degradace hloubková s lokálním odpadem betonu římsy, lokálně na povrchu římsy nečistoty, vegetace, mech a lišejník.

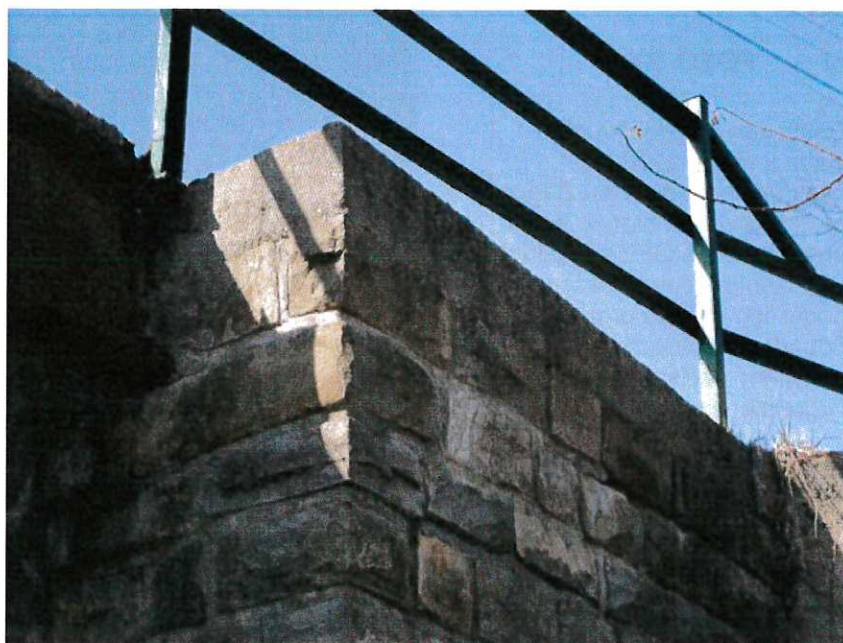


FOTO 58

Detail vyústění otvorů
odvodnění zřejmě izolace.
Větší množství vyústění
odvodnění zřejmě izolace
otvory v klenbách ve všech
polích podhledu mostu se
zvodněním podhledu NK v
jejich blízkosti, chybí svody
odvodnění pod podhled NK
mostu.

**FOTO 59**

Detail vyústění otvorů
odvodnění zřejmě izolace.
Větší množství vyústění
odvodnění zřejmě izolace
otvory v klenbách ve všech
polích podhledu mostu se
zvodněním podhledu NK v
jejich blízkosti, chybí svody
odvodnění pod podhled NK
mostu.

**FOTO 60**

Detail paty odvodňovacího
žlabu u P křídla OP2.
Otevřený odvodňovací žlab z
prefa žlabových tvárnic vedle
pravého křídla OP2 s lokálním
rozrušením spár a betonu
podél líce křídla s drobným
odpadem, v patě žlabu
uchyceny nečistoty a
vegetace.



FOTO 61

Detail P zábradlí.

Zábradlí na obou stranách mostu není dle normy ČSN, výška jen min. 0,95 m (má být min. 1,10 m) a zábradlí není mostního typu se svislou výplní s mezerami max. 0,12 m, z bezpečnostního hlediska nevyhovující pro most v intravilánu.

**FOTO 62**

Detail L zábradlí.

Zábradlí na obou stranách mostu není dle normy ČSN, výška jen min. 0,95 m (má být min. 1,10 m) a zábradlí není mostního typu se svislou výplní s mezerami max. 0,12 m, z bezpečnostního hlediska nevyhovující pro most v intravilánu.

**FOTO 63**

Detail P zábradlí u OP2.

OK zábradlí se stráveným vrchním nátěrem, vrchní nátěr lokálně sloupaný a poškrábaný s počátkem povrchové koroze v asi 10% plochy zábradlí, sloupky více korodují v místě uchycení na NK, kotvení zábradlí konzolami na NK s celoplošnou povrchovou korozí a lokální hloubkovou korozí v asi 10% plochy, lokální drobná deformace zábradlí.



FOTO 64

Detail L zábradlí.

OK zábradlí se stráveným vrchním nátěrem, vrchní nátěr lokálně sloupaný a poškrábaný s počátkem povrchové koroze v asi 10% plochy zábradlí, sloupky více korodují v místě uchycení na NK, kotvení zábradlí konzolami na NK s celoplošnou povrchovou korozí a lokální hloubkovou korozí v asi 10% plochy, lokální drobná deformace zábradlí.

**FOTO 65**

Detail kotvení L zábradlí u OP2.

OK zábradlí se stráveným vrchním nátěrem, vrchní nátěr lokálně sloupaný a poškrábaný s počátkem povrchové koroze v asi 10% plochy zábradlí, sloupky více korodují v místě uchycení na NK, kotvení zábradlí konzolami na NK s celoplošnou povrchovou korozí a lokální hloubkovou korozí v asi 10% plochy, lokální drobná deformace zábradlí.

**FOTO 66**

Detail SDZ v předpolí OP1.

SDZ B13 na mostě osazeno bez provedení VZM a bez stanovení HPM, SDZ B13 v předpolí OP1 drobně deformované na nesvislém sloupku, SDZ B13 v předpolí OP2 strávené a nenormové, SDZ P4 bez zjevných závad.



FOTO 67

Detail SDZ v předpolí OP2. SDZ B13 na mostě osazeno bez provedení VZM a bez stanovení HPM, SDZ B13 v předpolí OP1 drobně deformované na nesvislém sloupku, SDZ B13 v předpolí OP2 strávené a nenormové, SDZ P4 bez zjevných závad.

**FOTO 68**

Celkový pohled na území pod mostem zleva doprava. Koryto vodoteče pod mostem lokálně s nečistotami a hrubými naplaveninami, koryto je zanesené zejména u OP2. Přístup z komunikace, terénu, svahu u L křídla OP2 a přilehlého břehu vodoteče do koryta vodoteče a poté korytem vodoteče pod most bez větších problémů.

**FOTO 69**

Celkový pohled na opevnění paty OP1. Opevnění paty OP1 monolitickým betonem s celoplošnou povrchovou a lokální hloubkovou degradací s odpadem, uchyceny jsou nečistoty a vegetace.



FOTO 70

Detail opevnění paty OP1.
Opevnění paty OP1
monolitickým betonem s
celoplošnou povrchovou a
lokální hloubkovou degradací s
odpadem, uchyceny jsou
nečistoty a vegetace.

**FOTO 71**

Celkový pohled na nánosy v
patě OP2.
Opevnění paty OP2 nezjištěno,
pata OP2 zanesena
naplaveninami.

